

Starkniederschlagshöhen und -spenden gemäß KOSTRA-DWD-2020

Rasterfeld 123110

(Zeile 123, Spalte 110)

Regenspende und Bemessungsniederschlagswerte in Abhängigkeit von Wiederkehrzeit T und Dauerstufe D

| Dauerstufe D | | Wiederkehrzeit T | | | | | | | | | | | | | | | | | |
|--------------|-----|------------------|------------|------|------------|------|------------|------|------------|-------|------------|-------|------------|-------|------------|-------|------------|-------|------------|
| | | 1 a | | 2 a | | 3 a | | 5 a | | 10 a | | 20 a | | 30 a | | 50 a | | 100 a | |
| min | Std | mm | l / (s ha) | mm | l / (s ha) | mm | l / (s ha) | mm | l / (s ha) | mm | l / (s ha) | mm | l / (s ha) | mm | l / (s ha) | mm | l / (s ha) | mm | l / (s ha) |
| 5 | | 6,0 | 200,0 | 7,3 | 243,3 | 8,2 | 273,3 | 9,3 | 310,0 | 10,9 | 363,3 | 12,5 | 416,7 | 13,6 | 453,3 | 15,0 | 500,0 | 17,0 | 566,7 |
| 10 | | 7,9 | 131,7 | 9,7 | 161,7 | 10,8 | 180,0 | 12,3 | 205,0 | 14,4 | 240,0 | 16,6 | 276,7 | 18,0 | 300,0 | 19,9 | 331,7 | 22,6 | 376,7 |
| 15 | | 9,1 | 101,1 | 11,2 | 124,4 | 12,5 | 138,9 | 14,2 | 157,8 | 16,7 | 185,6 | 19,2 | 213,3 | 20,8 | 231,1 | 23,0 | 255,6 | 26,1 | 290,0 |
| 20 | | 10,1 | 84,2 | 12,4 | 103,3 | 13,8 | 115,0 | 15,6 | 130,0 | 18,3 | 152,5 | 21,1 | 175,8 | 22,9 | 190,8 | 25,3 | 210,8 | 28,7 | 239,2 |
| 30 | | 11,4 | 63,3 | 14,0 | 77,8 | 15,6 | 86,7 | 17,8 | 98,9 | 20,8 | 115,6 | 24,0 | 133,3 | 26,0 | 144,4 | 28,8 | 160,0 | 32,6 | 181,1 |
| 45 | | 12,9 | 47,8 | 15,8 | 58,5 | 17,7 | 65,6 | 20,1 | 74,4 | 23,5 | 87,0 | 27,1 | 100,4 | 29,4 | 108,9 | 32,5 | 120,4 | 36,8 | 136,3 |
| 60 | 1 | 14,0 | 38,9 | 17,2 | 47,8 | 19,2 | 53,3 | 21,8 | 60,6 | 25,6 | 71,1 | 29,4 | 81,7 | 32,0 | 88,9 | 35,3 | 98,1 | 40,0 | 111,1 |
| 90 | 1,5 | 15,7 | 29,1 | 19,3 | 35,7 | 21,5 | 39,8 | 24,5 | 45,4 | 28,7 | 53,1 | 33,0 | 61,1 | 35,9 | 66,5 | 39,6 | 73,3 | 44,9 | 83,1 |
| 120 | 2 | 17,0 | 23,6 | 20,9 | 29,0 | 23,3 | 32,4 | 26,5 | 36,8 | 31,1 | 43,2 | 35,8 | 49,7 | 38,8 | 53,9 | 42,9 | 59,6 | 48,7 | 67,6 |
| 180 | 3 | 19,0 | 17,6 | 23,4 | 21,7 | 26,1 | 24,2 | 29,6 | 27,4 | 34,7 | 32,1 | 40,0 | 37,0 | 43,4 | 40,2 | 47,9 | 44,4 | 54,4 | 50,4 |
| 240 | 4 | 20,6 | 14,3 | 25,3 | 17,6 | 28,2 | 19,6 | 32,0 | 22,2 | 37,6 | 26,1 | 43,2 | 30,0 | 47,0 | 32,6 | 51,8 | 36,0 | 58,8 | 40,8 |
| 360 | 6 | 23,0 | 10,6 | 28,2 | 13,1 | 31,5 | 14,6 | 35,8 | 16,6 | 41,9 | 19,4 | 48,3 | 22,4 | 52,4 | 24,3 | 57,9 | 26,8 | 65,7 | 30,4 |
| 540 | 9 | 25,6 | 7,9 | 31,5 | 9,7 | 35,1 | 10,8 | 39,9 | 12,3 | 46,7 | 14,4 | 53,8 | 16,6 | 58,5 | 18,1 | 64,5 | 19,9 | 73,2 | 22,6 |
| 720 | 12 | 27,7 | 6,4 | 34,0 | 7,9 | 37,9 | 8,8 | 43,1 | 10,0 | 50,5 | 11,7 | 58,1 | 13,4 | 63,2 | 14,6 | 69,7 | 16,1 | 79,1 | 18,3 |
| 1080 | 18 | 30,9 | 4,8 | 37,9 | 5,8 | 42,3 | 6,5 | 48,0 | 7,4 | 56,3 | 8,7 | 64,8 | 10,0 | 70,4 | 10,9 | 77,7 | 12,0 | 88,2 | 13,6 |
| 1440 | 24 | 33,3 | 3,9 | 41,0 | 4,7 | 45,7 | 5,3 | 51,9 | 6,0 | 60,8 | 7,0 | 70,0 | 8,1 | 76,0 | 8,8 | 83,9 | 9,7 | 95,2 | 11,0 |
| 2880 | 48 | 40,1 | 2,3 | 49,3 | 2,9 | 55,0 | 3,2 | 62,4 | 3,6 | 73,2 | 4,2 | 84,2 | 4,9 | 91,5 | 5,3 | 101,0 | 5,8 | 114,6 | 6,6 |
| 4320 | 72 | 44,7 | 1,7 | 54,9 | 2,1 | 61,2 | 2,4 | 69,5 | 2,7 | 81,5 | 3,1 | 93,9 | 3,6 | 101,9 | 3,9 | 112,5 | 4,3 | 127,7 | 4,9 |
| 5760 | 96 | 48,3 | 1,4 | 59,3 | 1,7 | 66,1 | 1,9 | 75,1 | 2,2 | 88,0 | 2,5 | 101,3 | 2,9 | 110,1 | 3,2 | 121,5 | 3,5 | 137,9 | 4,0 |
| 7200 | 120 | 51,2 | 1,2 | 62,9 | 1,5 | 70,2 | 1,6 | 79,7 | 1,8 | 93,4 | 2,2 | 107,6 | 2,5 | 116,8 | 2,7 | 128,9 | 3,0 | 146,3 | 3,4 |
| 8640 | 144 | 53,8 | 1,0 | 66,1 | 1,3 | 73,7 | 1,4 | 83,7 | 1,6 | 98,1 | 1,9 | 112,9 | 2,2 | 122,6 | 2,4 | 135,4 | 2,6 | 153,6 | 3,0 |
| 10080 | 168 | 56,0 | 0,9 | 68,8 | 1,1 | 76,8 | 1,3 | 87,2 | 1,4 | 102,2 | 1,7 | 117,6 | 1,9 | 127,8 | 2,1 | 141,1 | 2,3 | 160,1 | 2,6 |

Starkniederschlagshöhen und -spenden gemäß KOSTRA-DWD-2020

Rasterfeld 123110

(Zeile 123, Spalte 110)

Örtliche Unsicherheiten in Abhängigkeit von Wiederkehrzeit T und Dauerstufe D

| Dauerstufe D | | Wiederkehrzeit T | | | | | | | | |
|--------------|-----|------------------|-----|-----|-----|------|------|------|------|-------|
| | | 1 a | 2 a | 3 a | 5 a | 10 a | 20 a | 30 a | 50 a | 100 a |
| min | Std | ± % | ± % | ± % | ± % | ± % | ± % | ± % | ± % | ± % |
| 5 | | 8 | 9 | 10 | 11 | 11 | 12 | 13 | 13 | 14 |
| 10 | | 11 | 13 | 14 | 15 | 16 | 17 | 17 | 18 | 18 |
| 15 | | 13 | 15 | 16 | 17 | 18 | 19 | 20 | 20 | 21 |
| 20 | | 14 | 16 | 17 | 18 | 19 | 20 | 21 | 21 | 22 |
| 30 | | 15 | 17 | 18 | 19 | 20 | 21 | 22 | 22 | 23 |
| 45 | | 15 | 17 | 18 | 19 | 20 | 21 | 22 | 22 | 23 |
| 60 | 1 | 15 | 17 | 18 | 19 | 20 | 21 | 22 | 22 | 23 |
| 90 | 1,5 | 14 | 16 | 17 | 18 | 20 | 20 | 21 | 21 | 22 |
| 120 | 2 | 13 | 16 | 17 | 18 | 19 | 20 | 20 | 21 | 21 |
| 180 | 3 | 12 | 14 | 15 | 17 | 18 | 19 | 19 | 20 | 20 |
| 240 | 4 | 11 | 13 | 15 | 16 | 17 | 18 | 18 | 19 | 20 |
| 360 | 6 | 10 | 12 | 13 | 14 | 16 | 17 | 17 | 18 | 18 |
| 540 | 9 | 9 | 11 | 12 | 13 | 14 | 15 | 16 | 16 | 17 |
| 720 | 12 | 9 | 10 | 11 | 12 | 13 | 14 | 15 | 15 | 16 |
| 1080 | 18 | 8 | 9 | 10 | 11 | 12 | 13 | 14 | 14 | 15 |
| 1440 | 24 | 7 | 9 | 10 | 10 | 11 | 12 | 13 | 13 | 14 |
| 2880 | 48 | 7 | 8 | 8 | 9 | 10 | 11 | 11 | 11 | 12 |
| 4320 | 72 | 7 | 8 | 8 | 8 | 9 | 10 | 10 | 11 | 11 |
| 5760 | 96 | 8 | 8 | 8 | 8 | 9 | 9 | 10 | 10 | 10 |
| 7200 | 120 | 9 | 8 | 8 | 8 | 9 | 9 | 9 | 10 | 10 |
| 8640 | 144 | 9 | 8 | 8 | 8 | 9 | 9 | 9 | 10 | 10 |
| 10080 | 168 | 10 | 9 | 8 | 8 | 9 | 9 | 9 | 9 | 10 |

Parameter für abweichende T und D

Lokationsparameter ξ (Xi)

14,31644763

Skalenparameter α (Alpha)

4,5466482

Formparameter κ (Kappa)

-0,1

1. Koutsoyiannis-Parameter θ (Theta)

0,02838839

2. Koutsoyiannis-Parameter η (Eta)

0,73355061

Parameter für dauerstufenübergreifende Extremwertschätzung nach KOUTSOYIANNIS et al. 1998.

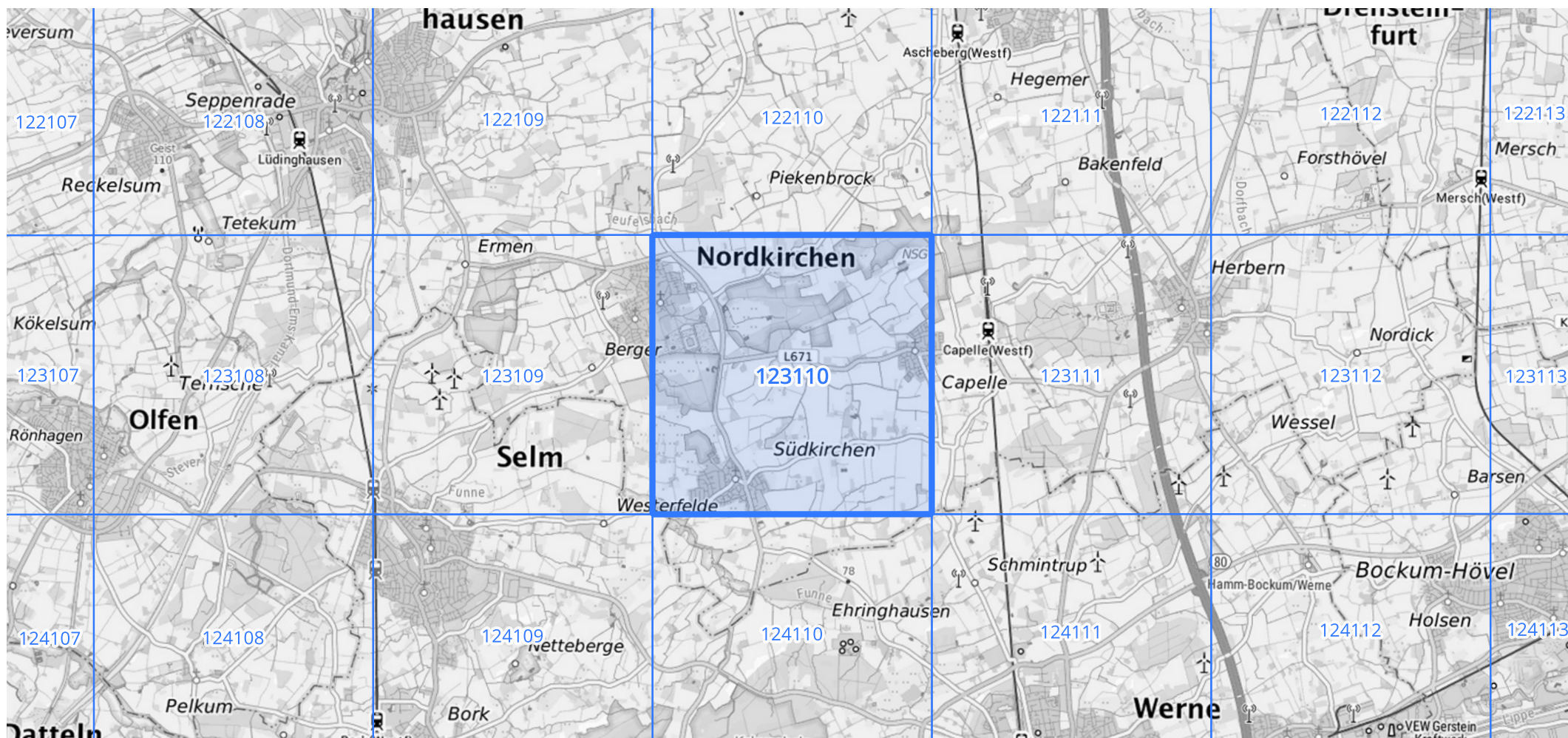
Siehe auch Anwendungshilfe zu KOSTRA-DWD-2020 des Deutschen Wetterdienstes.

Starkniederschlagshöhen und -spenden gemäß KOSTRA-DWD-2020

Rasterfeld 123110

(Zeile 123, Spalte 110)

Übersichtskarte des Rasterfeldes 123110, M 1 : 100 000



Quelle Rasterdaten: KOSTRA-DWD-2020 des Deutschen Wetterdienstes, Stand 12/2022.

Seite 3 von 3

Kartendarstellung: © Bundesamt für Kartographie und Geodäsie (2023), Datenquellen: https://sgx.geodatenzentrum.de/web_public/gdz/datenquellen/Datenquellen_TopPlusOpen.html

Für die Richtigkeit und Aktualität der Angaben wird keine Gewähr übernommen. Erstellt 01/2023.